

ХЛАПОНИН Н.С., ЯРОШЕВСКИЙ С.Л., КУЗИН А.В. (ДОННТУ), КУЗНЕЦОВ А.М., ПАДАЛКА В.П. (ОАО «ЕМЗ»)

## ВЛИЯНИЕ ПЕРЕПАДА ДАВЛЕНИЯ ГАЗА В ВЕРХНЕЙ ЧАСТИ ДОМЕННОЙ ПЕЧИ НА РАСХОД КОКСА

Оценено возможное изменение удельного расхода кокса (0,23%) по изменению общего перепада давления газа в слое материалов в верхней части доменной печи на 1%. Показано, что при подаче в доменную печь смеси агломерата и коксового орешка крупностью 10–40 мм в количестве 5–30% удельный расход кокса снижается на 1,61–4,21% только за счет улучшения газопроницаемости слоя.

В доменном производстве за последние годы внедрены эффективные технологические мероприятия, обеспечивающие снижение перепада давления в верхней части шахты доменной печи.

К таким мероприятиям относятся: улучшение фракционного состава железорудной части шихты; использование загрузочного устройства шихты с вращающимся лотком; применение коксового орешка (10–40 мм) в смеси с железорудной шихтой и др.

С другой стороны, в процессе эксплуатации доменных печей возникают периоды, когда перепад давлений в верхней части шахты доменной печи увеличивается из-за каких-либо очевидных или неявных факторов или расстройств хода печи.

Перепад давлений в верхней части шахты доменной печи относится к постоянно и надежно контролируемым параметрам технологии доменной плавки. Однако, до настоящего времени отсутствует методика оценки влияния изменения перепада давления в верхней части шахты доменной печи на удельный расход кокса и производительность доменной печи.

За основу такой методики принята общепризнанная и объективно оцениваемая зависимость удельного расхода кокса на выплавку чугуна от гранулометрического состава рудной части доменной шихты.

Изменение массовой доли мелкой фракции (–5 мм) в рудной части доменной шихты приводит к изменению ее порозности и перепада давления в верхней части шахты печи. В связи с этим, имеются все данные для того, чтобы указанную известную зависимость «содержание мелочи –5 мм в рудной части шихты — удельный расход кокса на выплавку чугуна» пересчитать на новую, более универсальную зависимость «перепад давления в верхней части шахты доменной печи — удельный расход кокса на выплавку чугуна».

Методика расчетов рассмотрена на примере доменной плавки шихты, состоящей из 100% агломерата.

В таблице 1 приведен гранулометрический состав базового агломерата (№ 1), основностью  $CaO/SiO_2=1,3$ , при его загрузке в доменную печь.

**Табл. 1.** Фракционный состав агломератов с различным содержанием мелочи 5–0 мм

Агломераты	Массовая доля (%) классов крупности, мм						$D_{ср}$ , мм	$\varepsilon$ , %
	+ 80	80–40	40–20	20–10	10–5	-5		
1	5,0	8,0	12,0	30,0	20,0	25,0	19,53	46,9
2	5,26	8,42	12,63	31,59	21,05	21,05	20,45	47,5
3	5,56	8,89	13,33	33,33	22,22	16,67	21,42	48,1
4	5,88	9,41	14,12	35,30	23,53	11,76	22,53	48,7
5	6,25	10,0	15,0	37,5	25,0	6,25	23,78	49,3

По гранулометрическому составу (содержание мелочи менее 5 мм принято равным 25%) этот агломерат имеет невысокое качество, однако в практических условиях ряда предприятий этот состав характерен либо постоянно, либо в периоды ухудшения технологии агломерации или доставки агломерата. Гранулометрические составы других агломератов (от № 2 до № 5) определены по данным агломерата № 1 при условии исключения из него фракции 5-0 мм ступенчато по 50 кг/т агломерата до остаточного содержания фракции 5-0 мм в агломерате № 5 в количестве 6,25%. Гранулометрический состав агломерата № 5 характерен для агломерата фабрики НКГОК-2, который подается на доменную печь № 9 ( $V_n=5000 \text{ м}^3$ ) комбината «Криворожсталь».

В таблице 1 приведен средний диаметр ( $D_{cp}$ ) кусков агломератов при различном содержании в них мелочи 5-0 мм (от 25 до 6,25%). Усреднение размера кусков указанных полидисперсных агломератов произведено по способу расчета среднемассового диаметра [1]:

$$D_{cp} = \frac{\sum g_i \cdot d_i}{\sum g_i}, \text{ мм.} \quad (1)$$

где  $g_i$  — массовая доля (%) кусков различной крупности (мм) в полидисперсном слое;  $d_i$  — диаметр кусков, мм.

По величине  $D_{cp}$  рассчитана порозность слоя ( $\epsilon$ ) для указанных агломератов по формуле [2]:

$$\epsilon = 0,222 \cdot D_{cp}^{0,252}, \text{ м}^3/\text{м}^3. \quad (2)$$

На основе значений  $D_{cp}$  и  $\epsilon$  определены изменения перепадов давления ( $\Delta P$ ) в слое агломерата в верхней части печи при уменьшении в нем содержания мелочи с использованием формулы:

$$\Delta P = \Psi \cdot \frac{H \cdot (1 - \epsilon) \cdot W^2 \cdot \rho}{D_{cp} \cdot \epsilon^3 \cdot g}, \quad (3)$$

где  $\Psi$  — коэффициент сопротивления прохода газа в зернистом слое;  $H$  — высота столба зернистого слоя, м;  $\rho$  — действительная плотность газа,  $\text{кг}/\text{м}^3$ ;  $W$  — действительная скорость газа, м/с;  $g$  — ускорение силы тяжести,  $\text{м}/\text{с}^2$ .

При изменении (уменьшении или увеличении) содержания мелочи 5-0 мм в агломерате, т.е. при изменении его порозности, изменение перепада давления в слое можно оценить (в долях единицы) как отношение значений потери напора газа в печи для рассматриваемых слоев:

$$\alpha_i = \frac{\Delta P_i}{\Delta P} \cdot 100, \%. \quad (4)$$

где  $\alpha_i$  — коэффициент сравнения потери напора газов в печи для базового и нового гранулометрического состава агломератов, %;  $\Delta P$  — потеря напора газа в печи при исходном (базовом) гранулометрическом составе агломерата;  $\Delta P_i$  — потеря напора газа в печи при новом гранулометрическом составе агломерата.

Для рассматриваемых условий приближенно принято, что значения  $\Psi$ ,  $H$ ,  $W$ ,  $\rho$  и  $g$  в формуле (3) изменяются незначительно при изменении гранулометрического состава агломерата в изучаемом диапазоне (см. таблицу 1). Тогда, при определении величины  $\alpha_i$  можно абсолютные значения  $\Delta P_i$  и  $\Delta P$  не вычислять, а определить их отношение по формуле:

$$\alpha_i = \frac{(1 - \epsilon_i)}{D_{i \text{ cp}} \cdot \epsilon_i^3} \bigg/ \frac{(1 - \epsilon)}{D_{cp} \cdot \epsilon^3} \cdot 100, \%. \quad (5)$$

где  $\varepsilon$  и  $\varepsilon_i$  — порозность в слое базового и нового агломерата,  $\text{м}^3/\text{м}^3$ ;  $D_{cp}$  и  $D_{i\,cp}$  — средний диаметр кусков слое базового и нового агломерата, мм.

Объемную долю каждого материала можно определить по формуле:

$$V_M = \frac{Q_1/\rho_1}{Q_1/\rho_1 + Q_2/\rho_2 + \dots + Q_n/\rho_n} \cdot 100, \% \quad (6)$$

где  $Q_1, Q_2, Q_n$  — расход материалов в доменную печь, кг/т чугуна;  $\rho_1, \rho_2, \rho_n$  — насыпная плотность материала,  $\text{кг}/\text{м}^3$ .

Приняв, что доменная плавка ведется только на агломерате ( $Q_{A2л} = 1800$  кг/т чугуна;  $\rho_{A2л} = 1800$   $\text{кг}/\text{м}^3$ ) и коксе ( $Q_K = 600$  кг/т чугуна;  $\rho_K = 500$   $\text{кг}/\text{м}^3$ ), объемная доля агломерата и кокса составит соответственно 45,45 и 54,55%.

Для учета влияния различных материалов на перепад давления в слое их смеси в шахте печи принимаем следующие значения сравнительного коэффициента сопротивления проходу газа ( $k_M$ ) в сравнении с агломератом [3]: агломерат  $k_{A2л} = 1$ ; окатыши  $k_{Окат} = 0,75$ ; кокс  $k_K = 0,15$ ; известняк  $k_{Изв} = 0,5$ .

Для рассматриваемого варианта плавки (100% агломерата + кокс) учет сравнительного коэффициента сопротивления проходу газа ( $K_M$ ) позволяет получить долевую величину сопротивления каждого материала по формуле:

$$K_M = V_M \cdot k_M, \% \quad (7)$$

После подстановки значения сравнительный коэффициент сопротивления проходу газа для агломерата составит  $K_{A2л} = 45,45\%$ , для кокса —  $K_K = 8,18\%$ , что составляет 84,7 и 15,3% (относ.). Поэтому, значения перепада давления в слое агломерата при подсчете общего перепада в верхней части печи (агломерат + кокс) необходимо учесть с помощью коэффициента  $\lambda_{A2л} = 0,847$ . Тогда уменьшение общего перепада давления газа в слое материалов в верхней части печи можно рассчитать по формуле, %

$$\Delta P_{\text{сух. зоны}} = (a - a_i) \cdot \lambda_{A2л}, \% \quad (8)$$

Выполненные расчеты по формулам (5)–(8) показывают, что уменьшение массовой доли мелочи 5–0 мм в агломерате от 25 до 6,25% (увеличение порозности слоя от 46,9 до 49,3%, т.е. почти в 1,05 раза) обеспечивает уменьшение перепада давления в слое агломерата в верхней части шахты доменной печи на 31,9% (таблица 2).

**Табл. 2.** Данные об уменьшении перепада давления (потерь напора газа) в слое агломерата в верхней части шахты доменной печи при улучшении гранулометрического состава агломерата

Агломерат (по табл. 1)	Массовая доля мелочи 5-0 мм в агломерате, %	Порозность слоя, %	Перепад давления газа в слое агломерата по сравнению с базовым, $\alpha_i$ , %	Уменьшение общего перепада давления газа в слое материалов в верхней части печи, %
1	25,0	46,9	$\alpha_1 = 100,0$	0,0
2	21,05	47,5	$\alpha_{1-2} = 91,6$	7,1
3	16,67	48,1	$\alpha_{1-3} = 83,3$	14,1
4	11,76	48,7	$\alpha_{1-4} = 75,4$	20,8
5	6,25	49,3	$\alpha_{1-5} = 68,1$	27,0

Рассматриваемому уменьшению содержания мелочи 5–0 мм в агломерате от 25 до 6,25% (таблица 2) соответствует уменьшение общего перепада давления газа в слое материалов в верхней части печи от 0 до 27% и уменьшение расхода кокса в пределах 0,2–

0,5% на каждый процент (абс.) уменьшения массовой доли мелочи 5–0 мм в агломерате [4, 5]. С учетом указанных данных принимаем, что уменьшение на 1% (абс.) содержания мелочи 5–0 мм в агломерате (и соответствующее уменьшение общего перепада газа в слое материалов в верхней части печи) в нижеуказанных диапазонах обеспечивают экономии кокса в следующем количестве, % от базового значения (таблица 3).

По расчетным данным для доменной шихты из агломерата и окатышей при их соотношении 42:58% (долевое участие агломерата в общем сопротивлении шихтовых материалов подачи составит 37,5%) подача фракций коксового орешка крупностью 10–20, 15–25, 20–30, 25–35 и 30–40 мм в смеси с агломератом приводит к сокращению общего перепада давления газа в верхней части шахты [6].

**Табл.3.** Диапазоны уменьшения массовой доли мелочи (5–0) мм в слое агломерата и общего перепада давления в слое материалов и соответствующие им значения сокращения удельного расхода кокса при выплавке чугуна

Диапазоны уменьшения массовой доли мелочи (5–0) мм в агломерате, %	Диапазоны уменьшения общего перепада давления газа в слое материалов в верхней части печи, %	Уменьшение расхода кокса, %	
		На 1% уменьшения доли мелочи	на 1% уменьшения общего перепада давления
25,0 – 21,05	0 – 7,1	0,5	0,28
21,06 – 16,67	7,11 – 14,1	0,4	0,25
16,68 – 11,76	14,11 – 20,8	0,3	0,22
11,77 – 6,25	20,81 – 27,0	0,2	0,18
Среднее значение			0,23

На основе этих приведенных в таблице 3 данных и среднего значения сокращения удельного расхода кокса на выплавку чугуна (0,23%) при уменьшении перепада давления газа в слое на 1%, определено возможное снижение удельного расхода кокса за счет только улучшения газопроницаемости слоя шихты при загрузке в доменную печь середину линзы агломерата коксового орешка крупностью 10–40 мм:

Доля коксового орешка, заменяющего кокс, %	5	10	15	20	25	30
Снижение общего перепада давления газа [6], %	7,0	11,4	13,6	15,5	17,0	18,3
Уменьшение удельного расхода кокса, %	1,61	2,62	3,13	3,57	3,91	4,21

Таким образом, оценено снижение удельного расхода кокса при загрузке в доменную печь смеси агломерата и коксового орешка, крупностью 10–40 мм. Данную методику можно применять для оценки возможного изменения удельного расхода кокса при изменении перепада давления газа в слое верхней части доменной печи при улучшении гранулометрического состава шихты, оптимизации её загрузки (бесконусный засыпной аппарат), применении коксового орешка в смеси с железорудной шихтой и др.

### Список литературы

1. Братчиков С.Г. Теплотехника окискования железорудного сырья. — М.: Metallургия, 1970. — 344 с.
2. Доменное производство: Справочник / Под ред. Е.Ф. Вегмана. — Т. 1. — М.: Metallургия, 1989. — 419 с.
3. Щукин П.А. Исследование свойств металлургического кокса. — М.: Metallургия, 1971. — 84 с.
4. Вегман Е.Ф. Краткий справочник доменщика. — М.: Metallургия, 1981. — 240 с.
5. Волков Ю.П., Шпарберг Л.Я., Гусаров А.К. Технолог-доменщик: Справочник. — М.: Metallургия, 1986. — 263 с.

6. Эффективность применения коксового орешка в доменной плавке / С.Л. Ярошевский, В.А. Ноздрачев, А.М. Кузнецов и др. // *Металл и литье Украины*, 2000. — № 5–6. — С. 9–13.

© Хлапонин Н.С., Ярошевский С.Л., Кузин А.В.,  
Кузнецов А.М., Падалка В.П., 2004

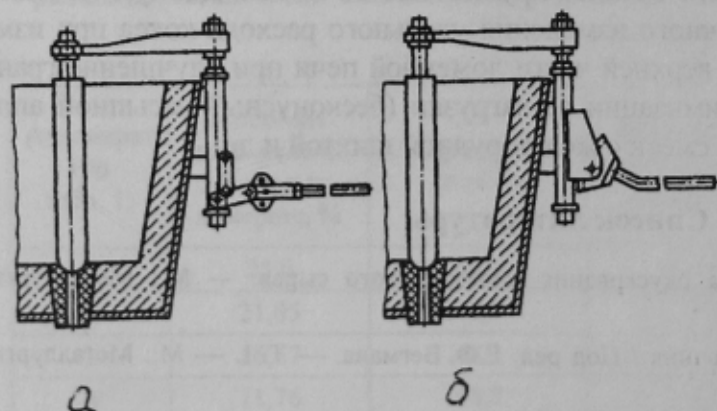
СМИРНОВ А.Н., ЕРОНЬКО С.П. (ДОННТУ), ЦУПРУН А.Ю. (НПО «ДОНИКС»),  
ОРЛОВ И.А., ЯКОВЛЕВ Д.А. (ДОННТУ)

## **ПОВЫШЕНИЕ СТАБИЛЬНОСТИ РАБОТЫ СИСТЕМЫ ПРИВОДА СТОПОРА ПРОКОВШЕЙ МНЛЗ**

*Рассмотрены особенности условий работы стопорных систем для дозированного перелива жидкой стали из промежуточных ковшей МНЛЗ, проанализированы основные направления их дальнейшего совершенствования с целью повышения надежности и эффективности применения.*

Одним из главных направлений повышения эффективности непрерывной разливки стали является увеличение ее серийности, что обеспечивает значительный энерго- и ресурсосберегающий эффект. Между тем, разливка металла на МНЛЗ длинными сериями может быть реализована лишь при высокой надежности функциональных элементов проковша, в том числе — системы привода стопора, обеспечивающей дозированную подачу стали в кристаллизатор или полное перекрытие канала стакана-дозатора в случае технологической необходимости.

Устойчивая работа системы привода стопора проковша в течение промежутка времени, затрачиваемого на разливку стали 15–20 плавов, достигается только при высокой надежности всех элементов, входящих в ее состав. Стопорная система включает стопор, выполненный в виде стального стержня, защищенного огнеупорными пробкой и катушками, либо монокристаллической формы огнеупорный элемент (монокристалл); литую или кованую вилку, фиксирующую стопор от раскачивания; направляющую трубу с размещенным внутри ползуном, верхний конец которого посредством резьбового соединения жестко связан с вилкой; рычажную систему или реечную передачу для ручного управления положением стопора относительно входного отверстия выпускного канала промежуточного ковша (рис.1).



**Рис.1.** Схемы стопорных механизмов промежуточных ковшей МНЛЗ: *а* — с рычажной системой; *б* — с реечной передачей

Цель настоящей работы — определение условий повышения надежности системы привода стопора проковшей применительно к условиям разливки стали длинными сериями на отечественных металлургических предприятиях.

Выполненное авторами в условиях ряда металлургических предприятий Украины и России промышленное тестирование работы разливочных систем проковшей, снабженных стопорами-монокристаллами различного конструктивного исполнения, поставляемых известными зарубежными фирмами,

показало, что все они не отвечают в полной мере требованиям технологии разливки